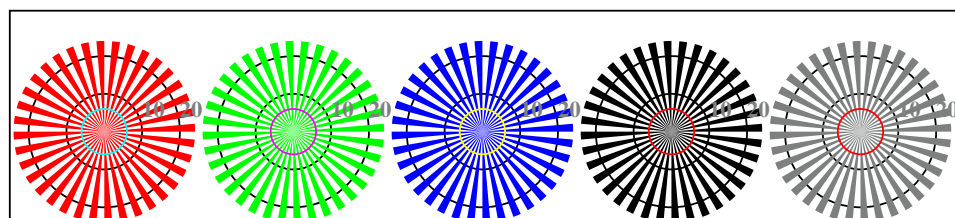


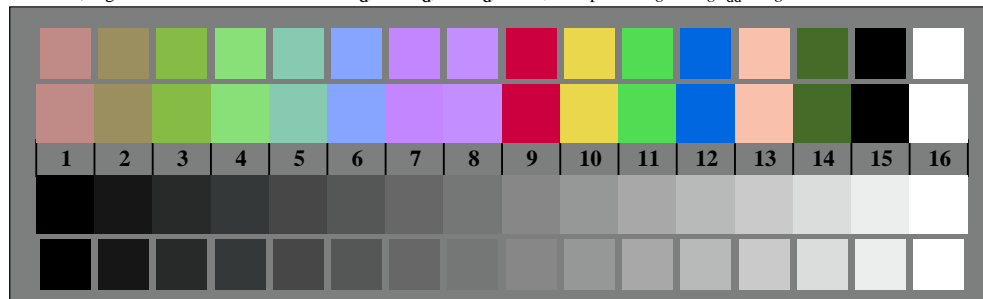
TF821-1, Fig. D4Wdd: 16 équidistants étapes $W-R_d$; $W-G_d$; $W-B_d$; $W-N$; $rgb/cmy0 \rightarrow rgb_{dd}$ setrgbcolor

+:-.		lmno		pqrs		tuvw	
xyz;		hijk		lmno		pqrs	
tuvwxyz		defg		hijk		lmno	
!abc		+:-.		+:-.		hijk	
pqrs		xyz;		xyz;		!abc	
lmno		tuvwxyz		tuvwxyz		defg	
hijk		defg		defg		!abc	
defg		!abc		!abc			
!abc							
10							

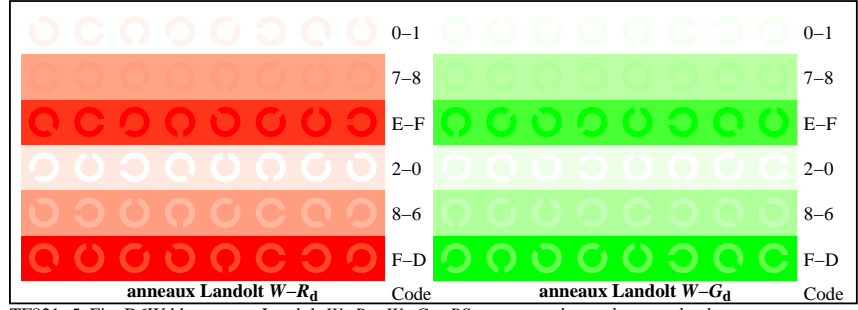
TF821-3, Fig. D5Wdd: code et Landolt anneau N ; R_d ; G_d ; B_d ; Z ; PS operator $rgb \rightarrow rgb_{dd}$ setrgbcolor



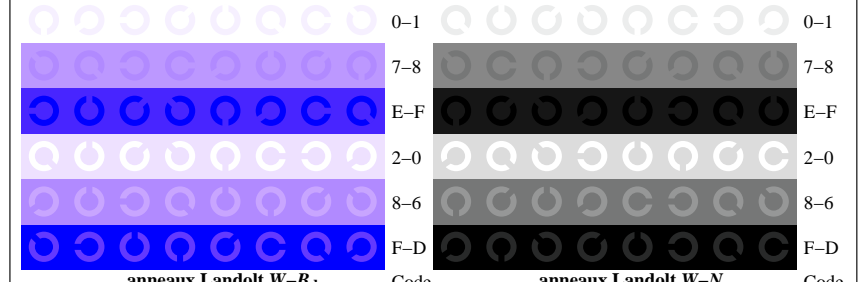
radial callebotis W-R_d **radial callebotis W-G_d** **radial callebotis W-B_d** **radial callebotis W-N** **radial callebotis W-Z**



TF820-7, Fig. D3Wdd: 14 CIE test couleurs et 2 + 16 gris étapes (sf); $rgb/cm\gamma 0 \rightarrow rgb_{dd} setrgbcolor$



TF821-5, Fig. D6Wdd: anneaux Landolt $W-R_d$; $W-G_d$; PS operator $rgb \rightarrow rgb_{dd}$ setrgbcolor



TE821-7 Fig D7Wdd; anneaux Landolt $W-B_d$; $W-N$; PS operator $rgh \rightarrow rgh_{dd}$ setrgbcolor